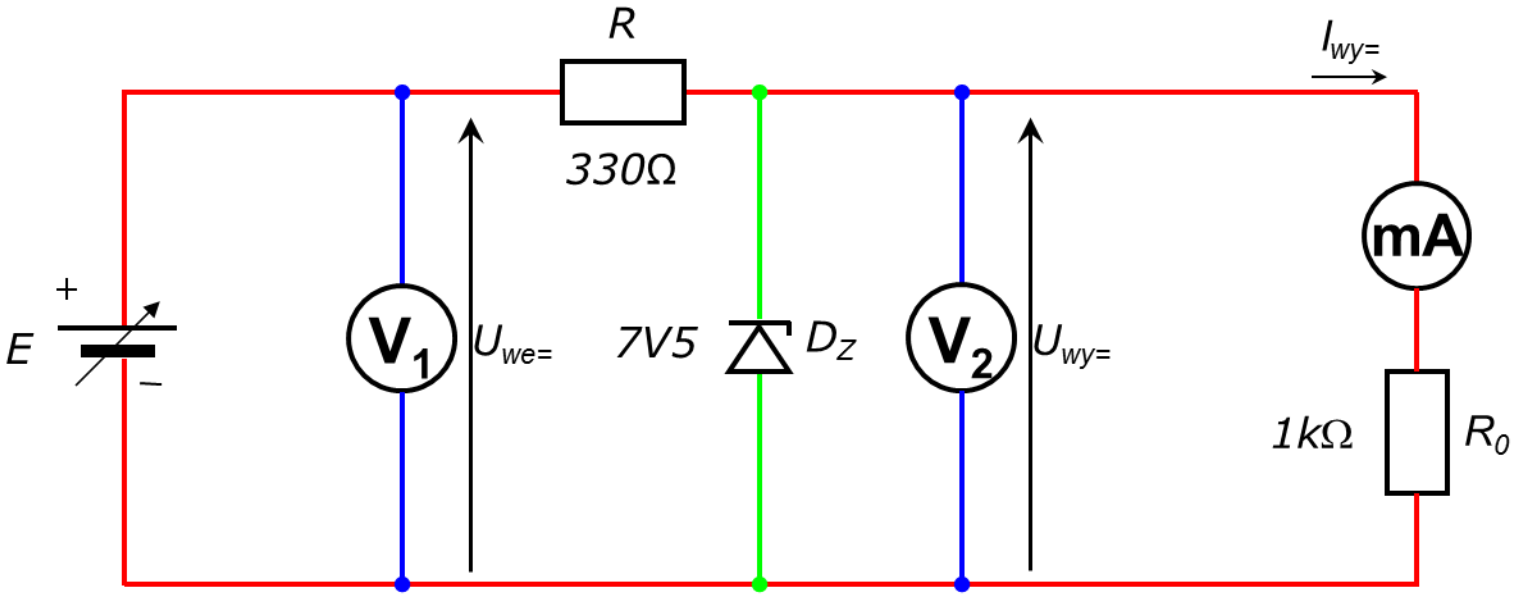
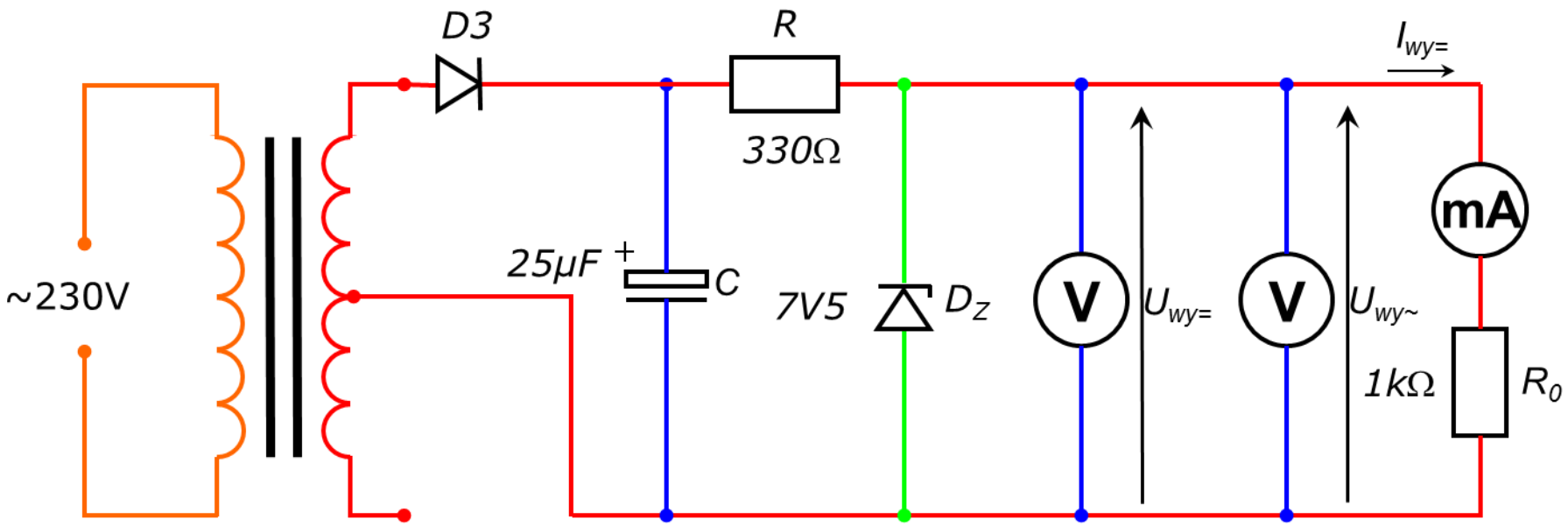
Badanie zasilaczy stabilizowanych



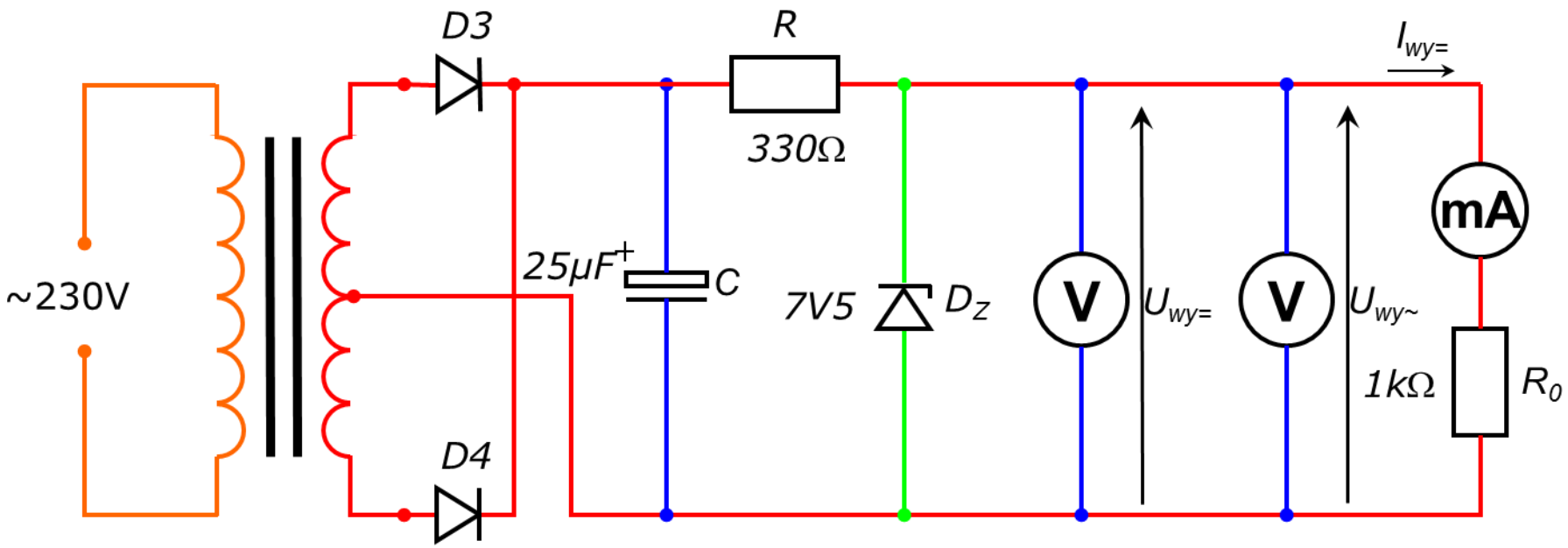
Rys. 32. Układ do pomiaru charakterystyki stałoprądowej $U_{wy} = f(U_{we})$ zasilacza stabilizowanego

Badanie zasilaczy stabilizowanych



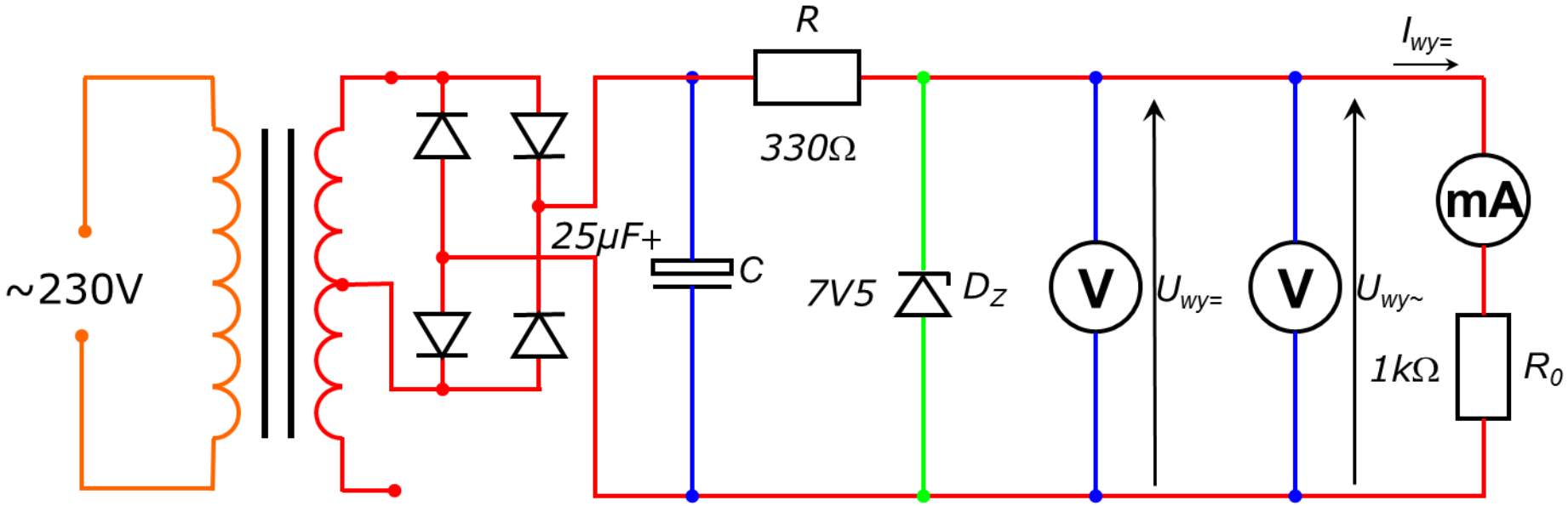
Rys. 34. Układ do pomiaru charakterystyki wyjściowej zasilacza stabilizowanego z prostownikiem jednopołówkowym

Badanie zasilaczy stabilizowanych



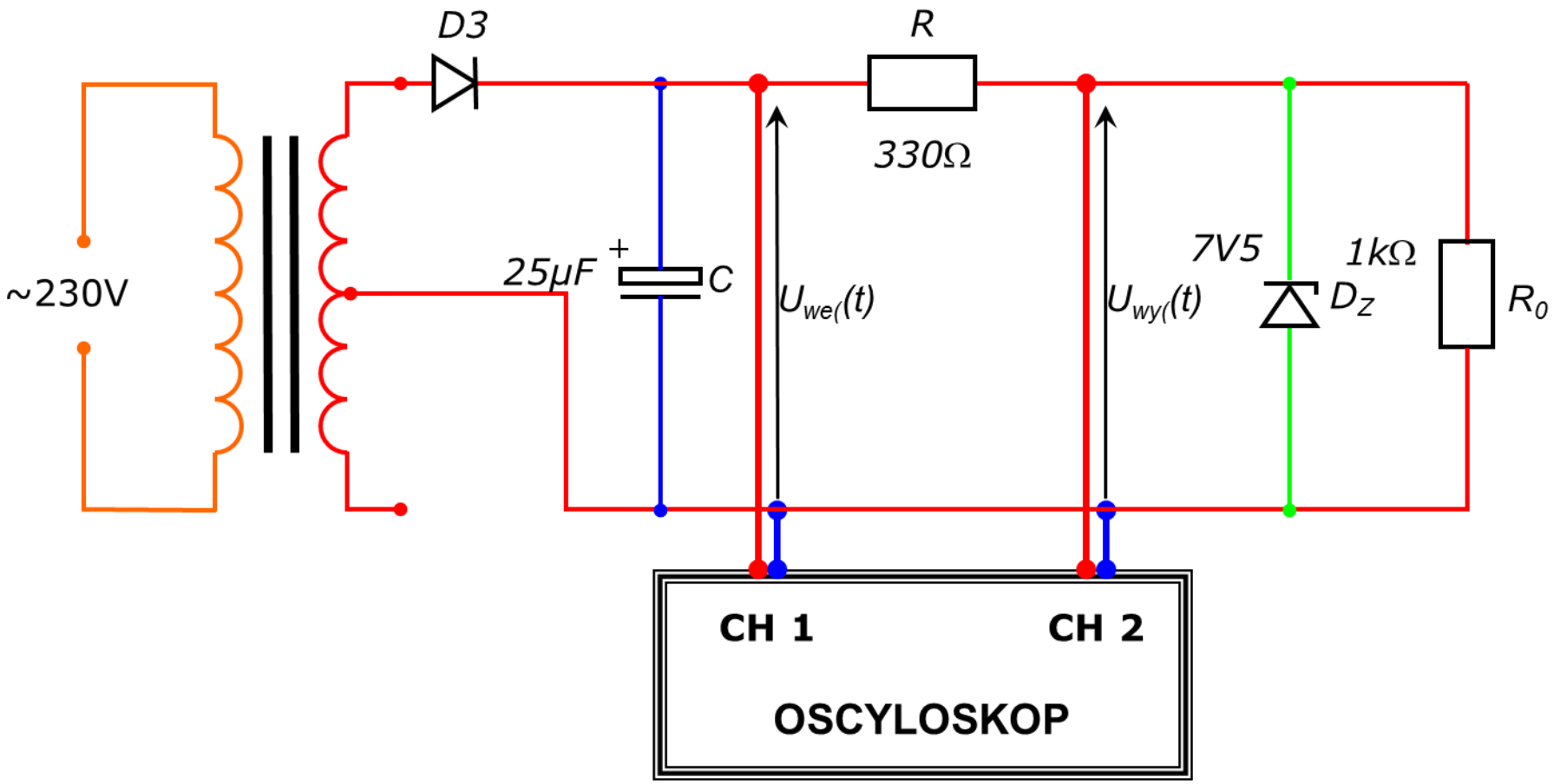
Rys. 36. Układ do pomiaru charakterystyki wyjściowej zasilacza stabilizowanego z prostownikiem dwupołówkowym z uzwojeniem wtórnym symetrycznym.

Badanie zasilaczy stabilizowanych



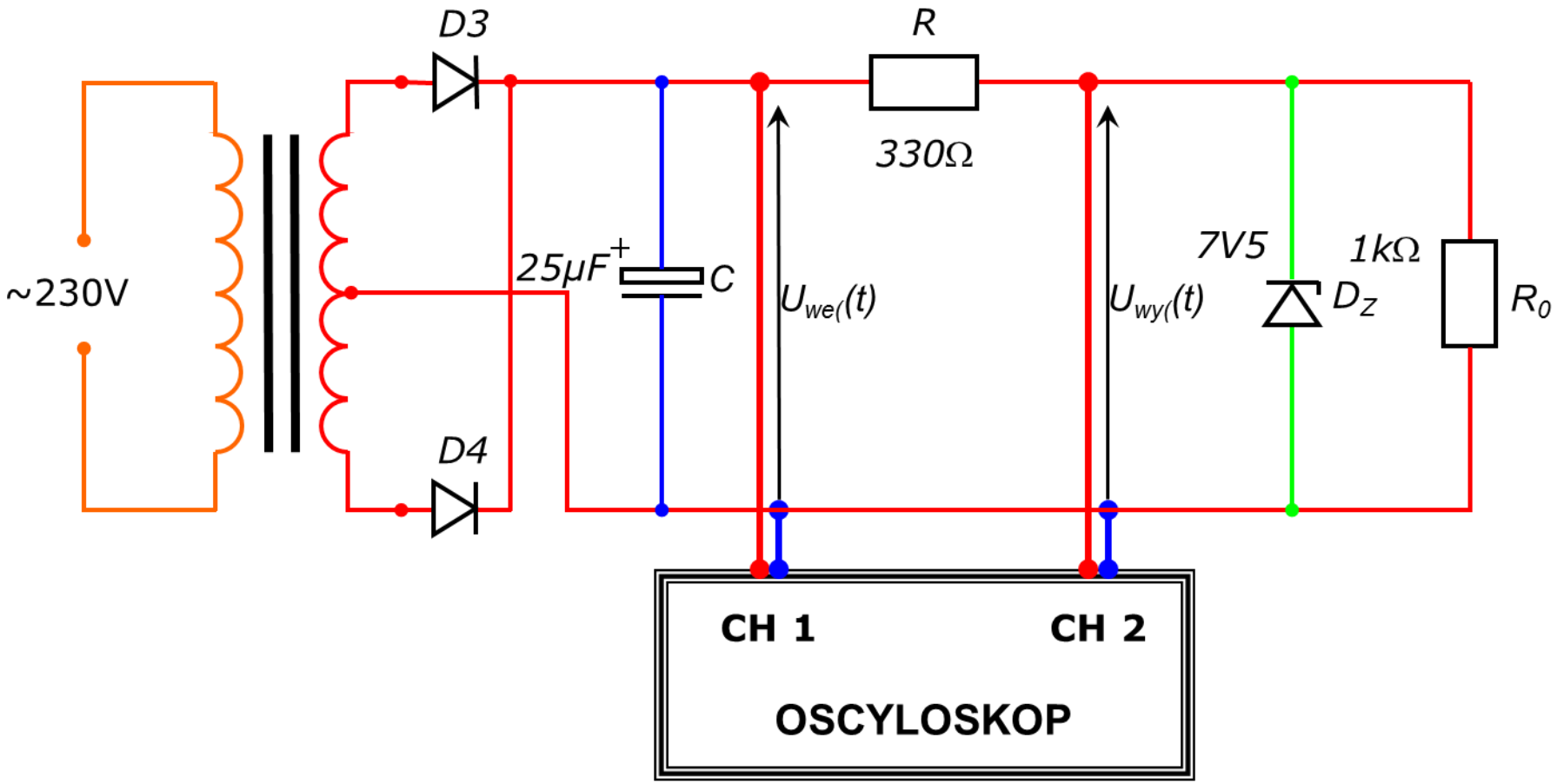
Rys. 38. Układ do pomiaru charakterystyki wyjściowej zasilacza stabilizowanego z prostownikiem dwupołówkowym w układzie mostkowym

Badanie zasilaczy stabilizowanych



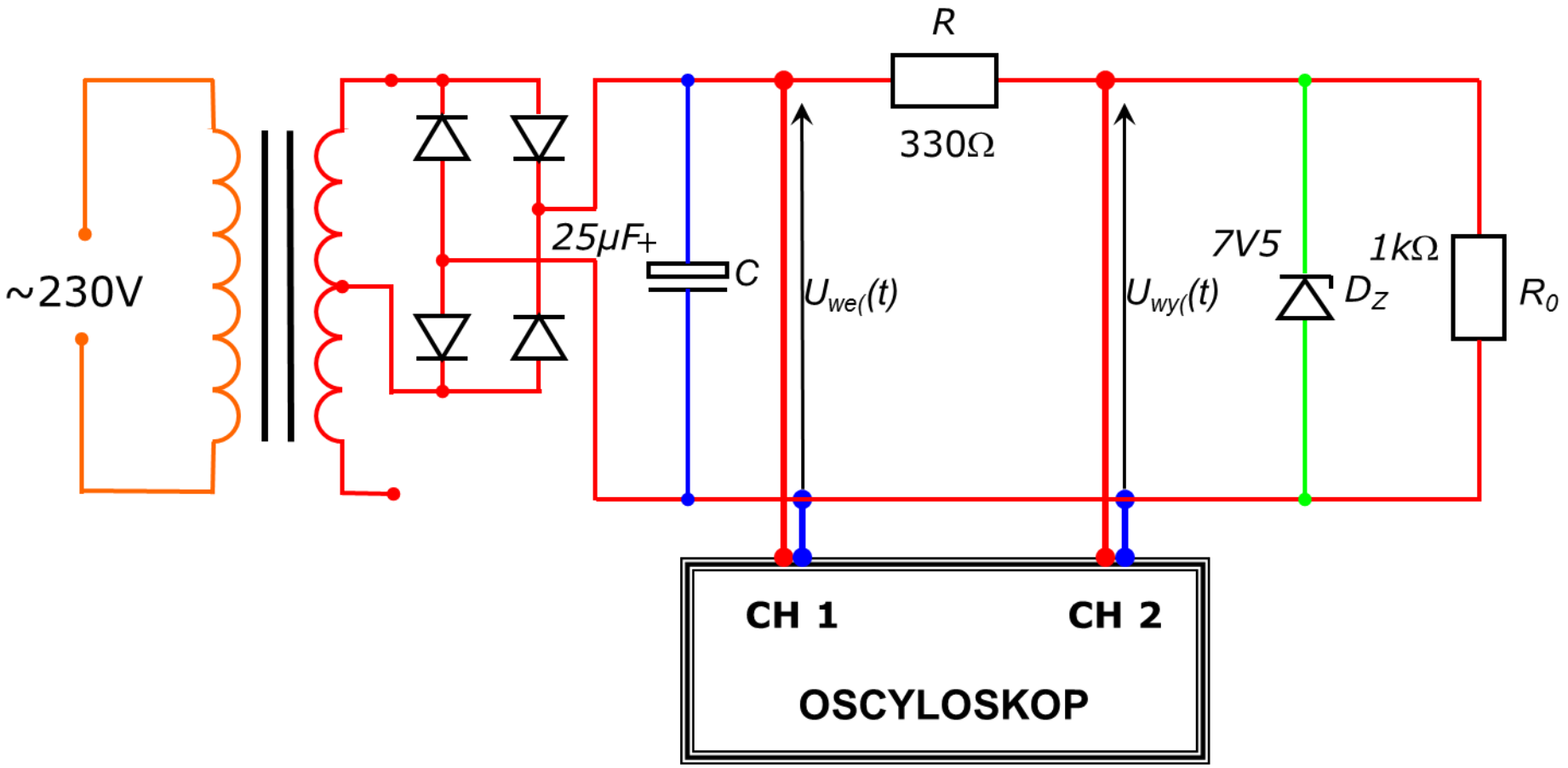
Rys. 40. Układ do pomiaru przebiegów czasowych zasilacza stabilizowanego z prostownikiem jednopołówkowym i diodą Zenera

Badanie zasilaczy stabilizowanych



Rys. 42. Układ do pomiaru przebiegów czasowych zasilacza stabilizowanego z prostownikiem dwupołówkowym z symetrycznym uzwojeniem wtórnymi i z diodą Zenara

Badanie zasilaczy stabilizowanych



Rys. 44. Układ do pomiaru przebiegów czasowych zasilacza stabilizowanego z prostownikiem dwupołówkowym w układzie mostkowym i z diodą Zenara